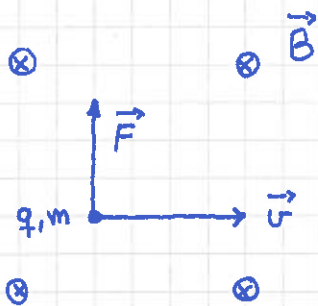


# Ladet partikkel i uniformt magnetfelt [FM 26.2; LHL 23.1+4]

[⊗ inn i planet; ⊙ ut av planet]



$$\vec{\Pi} = q \vec{v} \times \vec{B}$$

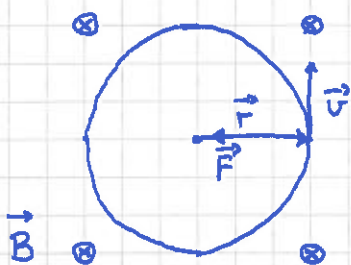
$$F = qvB \sin \theta \quad \vec{v} \perp \vec{B} = qvB$$

⇒ sirkelbevegelse med konstant v:

$$\vec{F} \perp \vec{v} \Rightarrow \vec{F} \perp d\vec{s}/dt \Rightarrow \underline{dW = \vec{F} \cdot d\vec{s} = 0}$$

Dvs: Magnetisk kraft  $\vec{F} = q\vec{v} \times \vec{B}$  utfører null arbeid

$$\Rightarrow K = \frac{1}{2}mv^2 = \text{konst.} \Rightarrow v = \text{konst.}$$



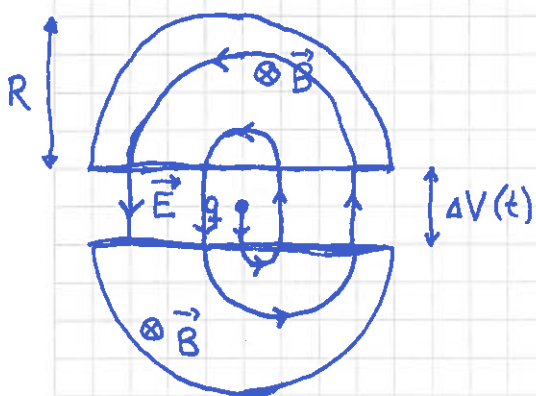
$$\vec{a} = -\frac{v^2}{r} \hat{r} \quad (\text{sentripetalaksel.})$$

$$\Rightarrow qvB \stackrel{N2}{=} mv^2/r$$

$$\Rightarrow r = mv/qB$$

$$\Rightarrow \omega_c = v/r = \underline{qB/m = \text{syklotronfrekvensen}}$$

Eks: Prinsipp for partikkelakselerator (CERN; LHC)



- Når q er i  $\vec{B}$ : Sirkelbevegelse,  
 $r = mv/qB$ ,  $\omega_c = qB/m$

- Spenning  $\Delta V(t) = V_0 \cos \omega_c t$  over "gap"  
i midten  $\Rightarrow \vec{E}(t) \Rightarrow \text{\AA}kt v$  for  
hver passasje

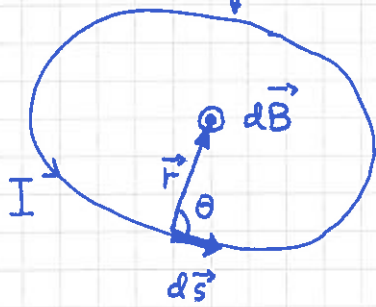
- $V_{\text{max}} = qBR/m$  [ikke-relativistisk]

- LHC:  $R \approx 4\text{km}$ ,  $B \approx 8\text{T}$ ,  $K_{\text{proton}} \sim 7\text{TeV} \Rightarrow V_{\text{proton}} \approx c$

# $\vec{B}$ fra elektrisk strøm [TM 27.2; LHL 23.5] [YF 28.2]

(109)

(Lukket) Strømsløjfe

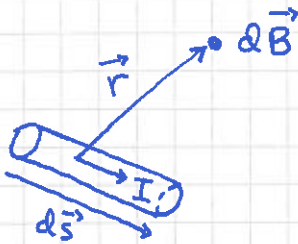


Empirisk lov:

$$\vec{B} = \frac{\mu_0 I}{4\pi} \oint \frac{d\vec{s} \times \hat{r}}{r^2}$$

Biot-Savarts lov

Bidraget  $d\vec{B}$  fra "strømelement"  $I \cdot d\vec{s}$ :



$$d\vec{B} = \frac{\mu_0 I}{4\pi} \cdot \frac{d\vec{s} \times \hat{r}}{r^2}$$

Sammenlign med bidrag  $d\vec{E}$  (til elektrisk f(t)) fra "ladningselement"  $dq$ :

$$d\vec{E} = \frac{1}{4\pi \epsilon_0} \frac{dq \cdot \hat{r}}{r^2} \quad (\text{Coulombs lov})$$

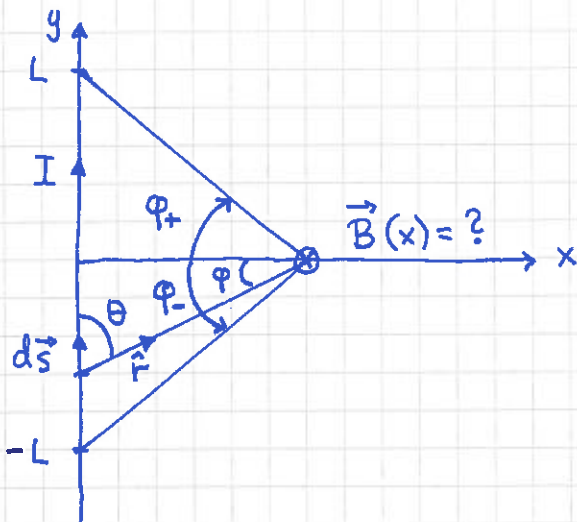
Vakuumpermeabiliteten:  $\mu_0 = 4\pi \cdot 10^{-7} \frac{T \cdot m}{A}$  (evt.  $\frac{V \cdot s}{A \cdot m}$ )

[Fra s. 89:  $c^2 = (\epsilon_0 \mu_0)^{-1}$ ;  $c =$  lysets hastighed i vakuum]

3 vigtige eksempler følger!

[Mål: Forstå kretselementet spole, jf. s. 62!]

Ekse 1:  $\vec{B}$  fra rett strømførende leder [TM 27.2; LHL 23.5] [YF 28.3]



Fra figuren:

$$\sin \varphi_+ = L / \sqrt{x^2 + L^2}$$

$$\sin \varphi_- = -L / \sqrt{x^2 + L^2}$$

$$\sin \theta = \frac{x}{r} = \cos \varphi$$

$$\tan \varphi = y/x$$

Bidrag  $d\vec{B}$  fra  $I d\vec{s}$ : 
$$d\vec{B} = \frac{\mu_0 I}{4\pi} \frac{d\vec{s} \times \hat{r}}{r^2}$$

$$d\vec{s} \times \hat{r} = dy \cdot 1 \cdot \sin \theta \cdot (-\hat{z}) ; \quad \frac{1}{r^2} = \frac{\cos^2 \varphi}{x^2}$$

$$y = x \tan \varphi \Rightarrow dy = x \cdot \frac{d\varphi}{\cos^2 \varphi}$$

$$\Rightarrow \vec{B}(x) = \int d\vec{B} = - \frac{\mu_0 I \hat{z}}{4\pi} \int_{\varphi_-}^{\varphi_+} \underbrace{\frac{x d\varphi}{\cos^2 \varphi}}_{dy} \cdot \underbrace{\cos \varphi}_{\sin \theta} \cdot \underbrace{\frac{\cos^2 \varphi}{x^2}}_{1/r^2}$$

$$= - \frac{\mu_0 I \hat{z}}{4\pi x} \int_{\varphi_-}^{\varphi_+} \cos \varphi d\varphi = - \frac{\mu_0 I \hat{z}}{4\pi x} \left\{ \sin \varphi_+ - \sin \varphi_- \right\}$$

$$= \frac{\mu_0 I L \hat{z}}{2\pi x \sqrt{x^2 + L^2}} \quad (= \text{felt fra l\ae}ngde 2 \cdot L)$$

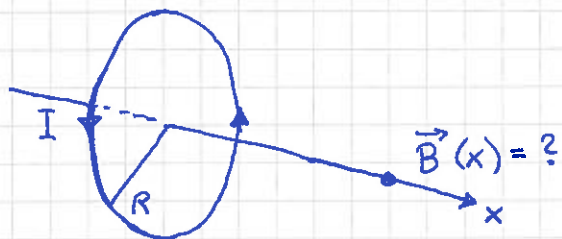
Hvis  $\infty$  lang:  $\sqrt{x^2 + L^2} \approx L$

$$\Rightarrow \boxed{\vec{B}(x) = - \frac{\mu_0 I}{2\pi x} \hat{z}}$$

# Eks 2: $\vec{B}$ på aksen til sirkulær strømsløyfe

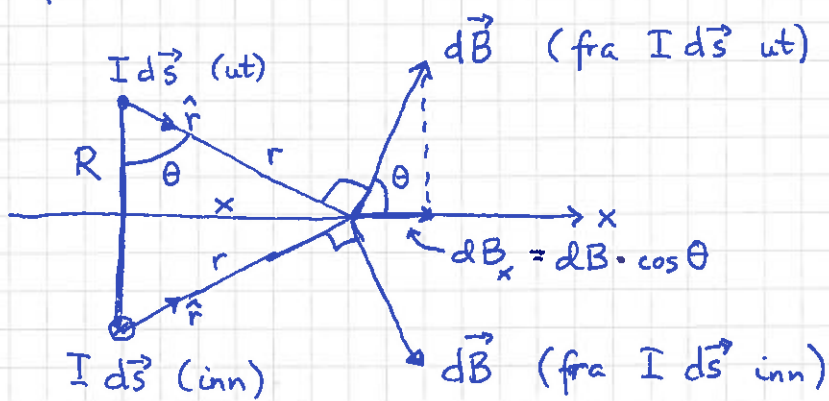
(111)

[TM 27.2; LHL 23.6] [YF 28.5]



- Strøm  $I$  i ring, radius  $R$ , sentrum i origo, ligger i  $yz$ -planet.
- Hva er  $\vec{B}(x)$  på  $x$ -aksen?

Sett fra siden:

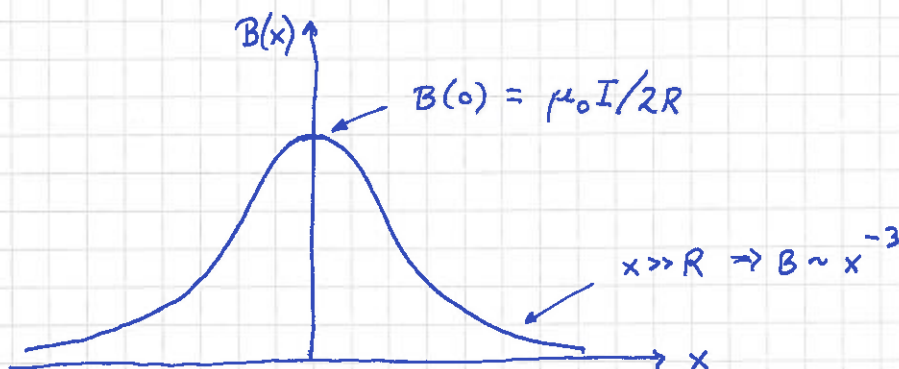


- symmetri  $\Rightarrow \vec{B}(x) = B(x) \hat{x}$  (for alle  $x$ )

$$dB = \left| \frac{\mu_0 I}{4\pi} \frac{d\vec{s} \times \hat{r}}{r^2} \right| = \frac{\mu_0 I}{4\pi (x^2 + R^2)} \cdot \underbrace{ds \cdot 1 \cdot \sin \frac{\pi}{2}}_{|d\vec{s} \times \hat{r}|}$$

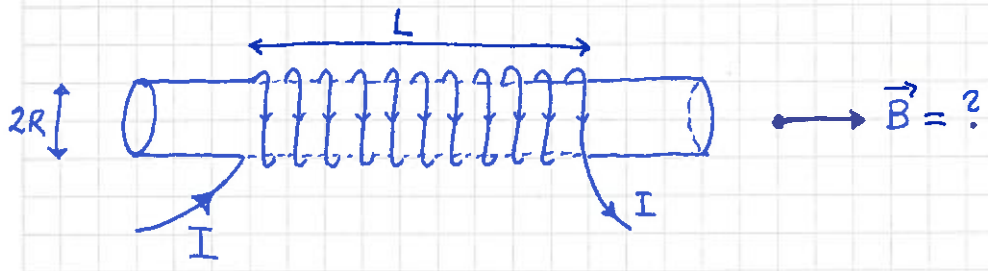
$$\cos \theta = \frac{R}{r} = \frac{R}{(x^2 + R^2)^{1/2}}$$

$$\Rightarrow B(x) = \int dB_x = \frac{\mu_0 I R}{4\pi (x^2 + R^2)^{3/2}} \cdot \underbrace{\int ds}_{= 2\pi R} = \frac{\mu_0 I R^2}{2 (x^2 + R^2)^{3/2}}$$



### Eks 3: $\vec{B}$ på akse til strømførende spole

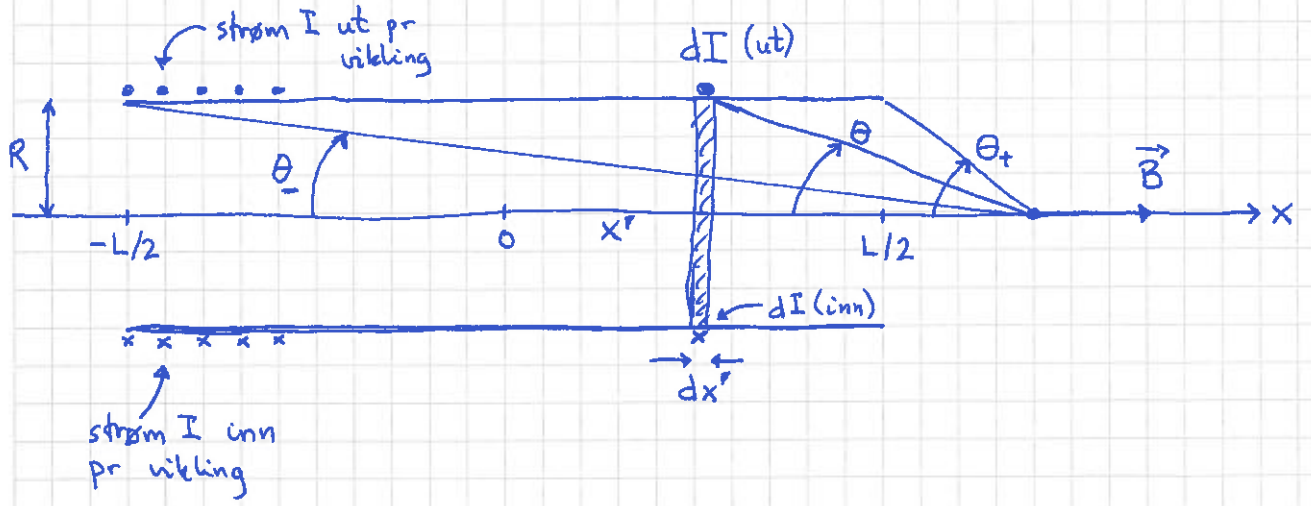
[TM 27.2 ; LHL 23.6] [YF 28.7]



- spole med  $N$  tettliggende viklinger på lengde  $L$  ( $N=11$  i figuren over); vikleingstetthet  $n = N/L$
- hva blir  $\vec{B}$  på spolens akse?

Løsning:

Med tettliggende viklinger kan vi betrakte dette som  $N$  strømførende ringer fordelt på lengden  $L$ :



# viklinger på lengde  $dx'$  =  $dN$  (# betyr her "antall")

#  $L = N$

$$\Rightarrow \frac{dN}{N} = \frac{dx'}{L} \Rightarrow dN = \frac{N}{L} dx' = n \cdot dx'$$

Bruker resultatet s. 111 til å skrive ned bidraget  $dB$  fra strøm  $dI$  i ring med bredde  $dx'$  ved  $x'$ :

$$dB = \frac{\mu_0 \cdot dI \cdot R^2}{2 \{ (x-x')^2 + R^2 \}^{3/2}}$$

Med  $dN$  viklinger på lengden  $dx'$ , med strøm  $I$  i hver vinding, fås:

$$dI = I \cdot dN = I \cdot n \cdot dx' \quad (n = N/L)$$

Dermed:

$$B(x) = \int dB = \frac{\mu_0 I n R^2}{2} \int_{-L/2}^{L/2} \frac{dx'}{\{ (x'-x)^2 + R^2 \}^{3/2}}$$

Fra figuren s. 112 ser vi at

$$\cos \theta = \frac{x-x'}{\{ (x-x')^2 + R^2 \}^{1/2}} = \cos \theta_{\pm} \quad \text{for } x' = \mp \frac{L}{2}$$

Og siden

$$\begin{aligned} \frac{d}{dy} \left\{ \frac{y}{\sqrt{y^2+c}} \right\} &= \frac{1}{\sqrt{y^2+c}} + \frac{y \cdot (-\frac{1}{2}) \cdot 2y}{(y^2+c)^{3/2}} = \frac{y^2+c}{(y^2+c)^{3/2}} - \frac{y^2}{(y^2+c)^{3/2}} \\ &= c / (y^2+c)^{3/2}, \end{aligned}$$

er det klart at

$$\int_{-L/2}^{L/2} \frac{dx'}{\{ (x'-x)^2 + R^2 \}^{3/2}} = \left| \frac{x'-x}{R^2 \sqrt{(x'-x)^2 + R^2}} \right|_{-L/2}^{L/2}$$

$$= \frac{\frac{L}{2} - x}{R^2 \sqrt{(\frac{L}{2} - x)^2 + R^2}} + \frac{\frac{L}{2} + x}{R^2 \sqrt{(\frac{L}{2} + x)^2 + R^2}}, \quad \text{og dermed er}$$

$$B(x) = \frac{1}{2} \mu_0 n I \left\{ \frac{\frac{L}{2} - x}{\sqrt{(\frac{L}{2} - x)^2 + R^2}} + \frac{\frac{L}{2} + x}{\sqrt{(\frac{L}{2} + x)^2 + R^2}} \right\}$$

(PUH!)

Alternativt kan vi skrive

$$B(x) = \frac{1}{2} \mu_0 n I \{ \cos \theta_- - \cos \theta_+ \}$$

Lang spole:  $L \gg R$  (og  $\frac{L}{2} \gg R$ )

- Med  $x$  nær enden av spolen:

Da er enten  $x = L/2$ , dvs  $\theta_- = 0$  og  $\theta_+ = \pi/2$ ,  
eller  $x = -L/2$ , dvs  $\theta_- = \pi/2$  og  $\theta_+ = \pi$ .

I begge tilfeller blir

$$B(|x| \approx \frac{L}{2}) = \underline{\underline{\frac{1}{2} \mu_0 n I}}$$

- Med  $x$  inni spolen og langt unna begge ender:

Da er  $\theta_- = 0$  og  $\theta_+ = \pi$ , slik at

$$\boxed{B = \mu_0 n I} \quad (\text{inni lang spole})$$

Det kan vises (ved å bruke den såkalte Amperes lov, som ikke er pensum her) at

$$B = \mu_0 n I$$

overalt inni en lang spole, dvs ikke bare på spolens akse (men under forutsetning av at det er "dypt" inni spolen, dvs langt unna begge ender)

Dette er vårt hovedresultat, som vi skal bruke som en tilnærming også for "reelle spoler".

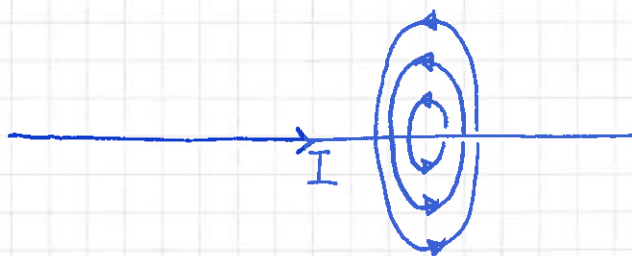
På utsiden av en slik lang og tettviklet spole kan vi anta  $B \approx 0$ , da det her er mye svakere enn inni spolen.

# Feltlinjer for $\vec{B}$ [TM 26.1; LHL 23.1] [YF 27.3]

Som for  $\vec{E}$  (se s. 71):

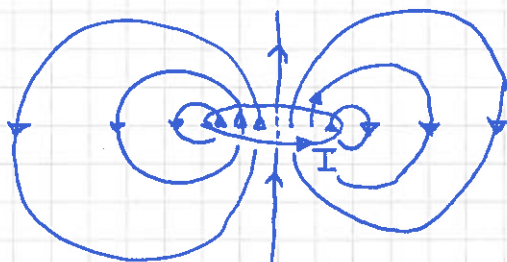
- Retning: Feltlinjene  $\parallel \vec{B}$
- Absoluttverdi:  $|\vec{B}|$  prop. med feltlinjetettheten

Eks 1:  $\vec{B}$  fra lang rett strømførende leder

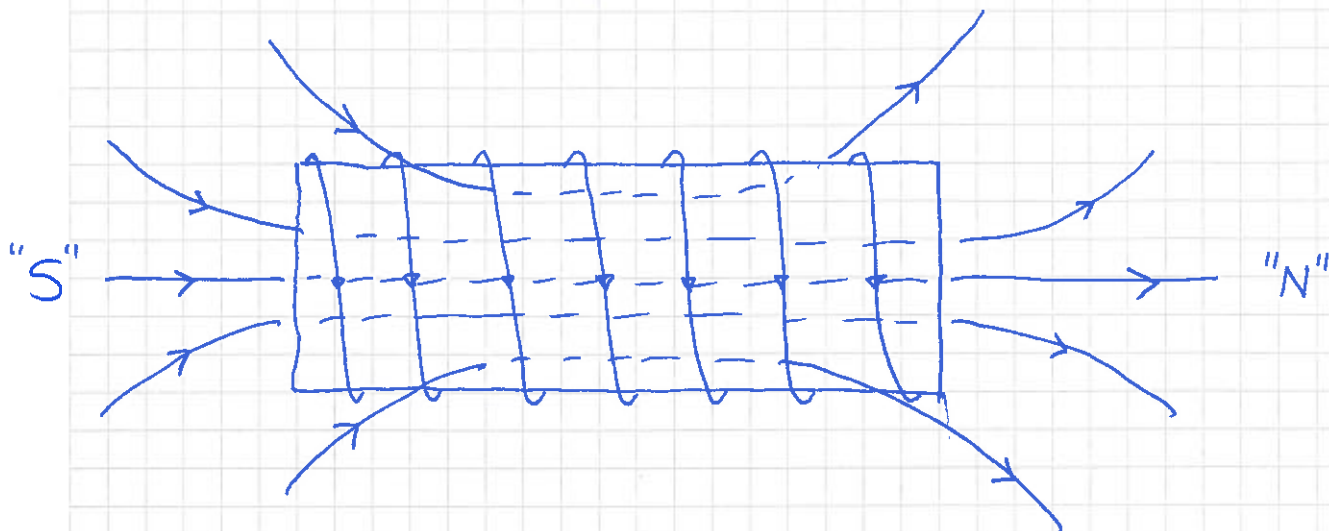


sirkler med sentrum på lederen

Eks 2:  $\vec{B}$  fra strømførende ring

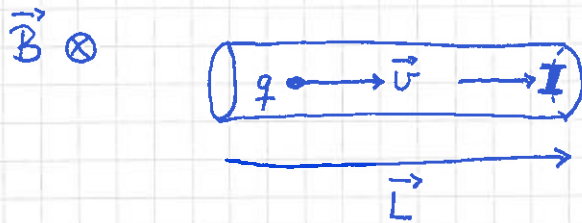


Eks 3:  $\vec{B}$  fra lang, tettviklet spole



MERK: Alltid lukkede feltlinjer for  $\vec{B}$ . [Ingen "magnetisk ledning."]

# Magnetisk kraft på elektrisk strøm [TM 26.1; LHL 23.2] [YF 27.6]



Bit av strømførende leder,  
 N frie ladninger  $q$  med  
 driftshastighet  $\vec{v}$ , lengde  $L$

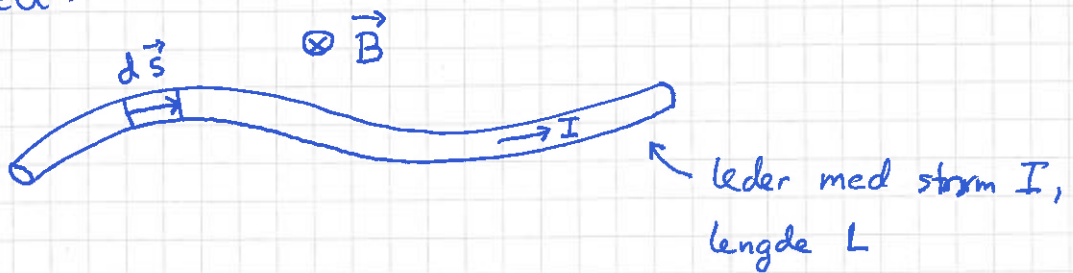
Kraft på de  $N$  frie ldn:  $\vec{F} = Nq\vec{v} \times \vec{B}$

Strøm i ledaren:  $I = \frac{\Delta Q}{\Delta t} = \frac{Nq}{L/v} \Rightarrow \frac{Nqv}{L}$

$\Rightarrow I\vec{L} = Nq\vec{v}$

}  $\Rightarrow \boxed{\vec{F} = I\vec{L} \times \vec{B}}$

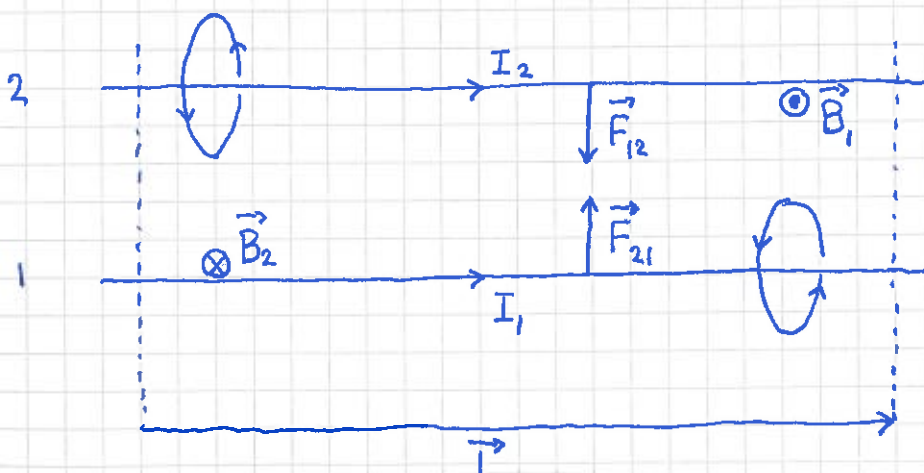
Generelt:



Kraft på  $d\vec{s}$ :  $d\vec{F} = I d\vec{s} \times \vec{B}$

$\Rightarrow$  Total kraft på lengde  $L$ :  $\boxed{\vec{F} = \int_L d\vec{F} = I \int_L d\vec{s} \times \vec{B}}$

## Eks: Kraft mellom to parallelle strømførende ledere [TM 27.2 ; LHL 23.5] [YF 28.4]



Magnetfelt fra 2 ved 1:  $B_2 = \frac{\mu_0 I_2}{2\pi x}$  (inn i planet)

———— " ———— 1 ved 2:  $B_1 = \frac{\mu_0 I_1}{2\pi x}$  (ut av planet)

Kraft på lengde  $\vec{L}$  av 1:  $\vec{F}_{21} = I_1 \vec{L} \times \vec{B}_2$ ;  $F_{21} = L \cdot \mu_0 I_1 I_2 / 2\pi x$

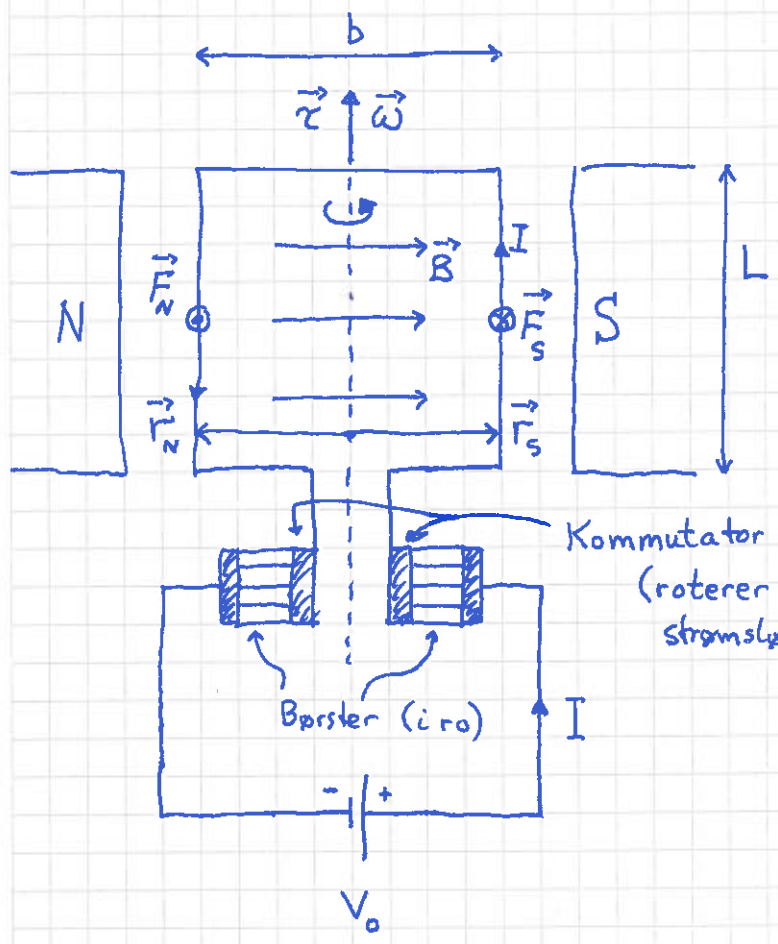
———— " ———— 2:  $\vec{F}_{12} = I_2 \vec{L} \times \vec{B}_1$ ;  $F_{12} = L \cdot \mu_0 I_1 I_2 / 2\pi x = F_{21}$

Kraft pr lengdeenhet:

$$f_{21} = F_{21} / L = \frac{\mu_0 I_1 I_2}{2\pi x} = F_{12} / L = f_{12}$$

Hvis  $I_1 \parallel I_2$ : Tiltrekning; Hvis  $I_1 \parallel -I_2$ : Frastøtning

Eks: Likestrømsmotor, prinsipp [TM 26.3; LHL 23.3] [YF 27.8]



$$\vec{F} = I \vec{L} \times \vec{B}$$

$$F_s = ILB \text{ (inn)}$$

$$F_n = ILB \text{ (ut)}$$

$$\vec{\tau} = \vec{r} \times \vec{F}$$

$$\tau_s = \frac{b}{2} ILB \sin\phi \text{ (opp)}$$

$$\tau_n = \text{————} \text{ (opp)}$$

( $\phi$  = vinkel mellom  $\vec{r}$  og  $\vec{F}$ ; i figuren er  $\phi = 90^\circ$ )

$$\Rightarrow \tau = \tau_s + \tau_n = IAB \sin\phi$$

med  $A = b \cdot L = \text{sløyfas areal}$

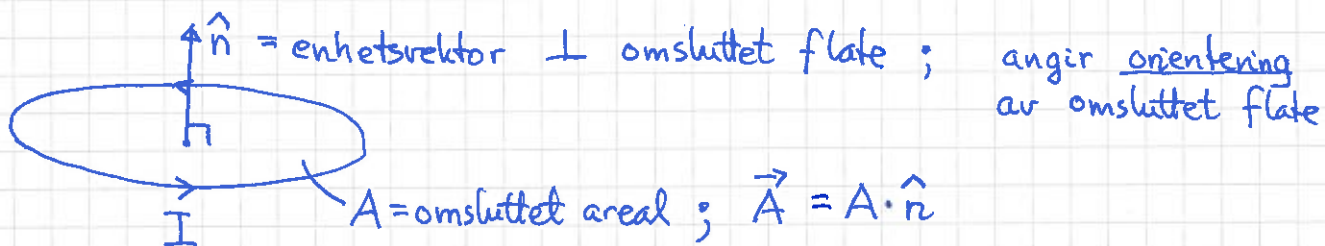
(DC spenningskilde)

# Magnetiske dipoler og dipolmoment [TM 26.3; LHL 23.3, 26.2]

(118)

[YF 27.7]

Strømsløyfe = Magnetisk dipol



H.h.regel : 4 fingre i strømmens retning gir  $\hat{n}$  i tommelens retning.

Sløyfas magnetiske dipolmoment er :

$$\vec{m} \stackrel{\text{def}}{=} IA \hat{n} = I \vec{A}$$

[Notasjon i TM:  $\vec{m} \rightarrow \vec{\mu}$ ]

Enhet : [m] =  $A \cdot m^2$

Generell def:

$$\vec{m} = \frac{1}{2} \int \vec{r} \times \vec{j} dV ; \vec{j} = \text{strømtetthet}, dV = \text{volumement}$$

Sammenligning med elektrostatikk: (se s. 72)

A diagram of an electric dipole. A horizontal line has a dot on the left labeled  $-q$  and an arrow on the right labeled  $q$ . Above the line, a horizontal arrow labeled  $\vec{d}$  points from the  $-q$  charge to the  $q$  charge. To the right of the diagram, text reads:  $\vec{p} = q\vec{d} = \text{elektrisk dipolmoment}$ .

Generell def:  $\vec{p} = \int \vec{r} dq = \int \vec{r} \rho dV ; \rho = \text{ladn. tetthet}$

I de generelle def av  $\vec{m}$  og  $\vec{p}$  skal det integreres over alle steder der hvor  $\vec{j}$  og  $\rho$  er forskjellig fra null.